

## 研究简报 ·

文章编号:1006-3471(2003)03-0368-05

# 电解制备纯铁及其 RRR<sub>H</sub> 法研究

曹为民<sup>1</sup>,印仁和<sup>\*1</sup>,严惠根<sup>1</sup>,张义炳<sup>2</sup>,戴迎春<sup>3</sup>

(1. 上海大学理学院化学系 上海;2. 上海大学理学院物理系 上海 200436;  
3. 华东理工大学国家重点化学工程联合实验室 上海 200237)

**摘要:** 以工业废铁屑为原料制备高纯度电解铁,纯度可达 99.98% 以上。应用剩余电阻率比 (RRR<sub>H</sub>) 法,在外加垂直磁场 800 Oe 下分别测定该电解铁在 4.2 K 和 298 K 时的电阻率,并得出样品对应的剩余电阻率比 (RRR<sub>H</sub>)。研究表明:电解铁纯度越高,其 RRR<sub>H</sub> 越大。通过 SEM 断面形貌观察,在 Ti 基片上电解制备的纯铁非常致密。

**关键词:** 纯铁;电解制备;RRR<sub>H</sub> 法;SEM

**中图分类号:** TF 111.52, TQ 150.1

**文献标识码:** A

高纯度电解铁具有与普通铁很不相同的性质<sup>[1~3]</sup>,在超高张力钢,耐腐蚀合金,原子反应堆等材料以及磁性材料,电子材料,非晶合金等专用材料方面有着广泛用途。正因为如此,对高纯度铁的研究近年来特别引人注目。然而铁因其高过电位及特殊的磁性电子结构,在电解过程中,诸多电位较负的金属离子都能与铁发生异常共沉积,致使欲从电解法制备高纯度铁存在很大困难。此外纯度的检测亦属不易。高纯度电解铁的纯度用化学方法往往引起误差:一是准确到  $10 \times 10^{-6}$  kg/kg ~  $100 \times 10^{-6}$  kg/kg 数量级以下化学元素分析已非常困难;二是因漏检不纯物而使纯度偏高。因此极希望能有准确可信的纯度检测方法。

本工作利用废铁屑制备电解铁,用化学分析法分析了其杂质含量,并尝试用剩余电阻率比法<sup>[4]</sup>检测铁的纯度。

## 1 实 验

### 1.1 电解液的组成及电解条件

电解液组成及电解条件见表 1。所用的氯化亚铁制备乃以工业废铁屑作原料<sup>[5]</sup>,先经 10% 稀盐酸除锈,再用脱脂液浸泡 1 h,然后溶于稀盐酸中(水:酸 = 1:2),制得氯化亚铁粗电解液。粗电解液再用新鲜铁屑进行置换后依次过滤,浓缩,结晶,二次蒸馏水重结晶即得氯化亚铁晶体。实验时,使用 ZF-5 型恒电仪和 CS501 型超级恒温槽。

收稿日期:2002-12-14,修订日期:2003-05-09

\* 通讯联系人, Tel:(021-66134594), E-mail:cwm213@sohu.com

国家重点化学工程联合实验室资助

表 1 电解制备纯铁电解液组成及电解条件

Tab. 1 The bath composition and electrolytic conditions for the pure iron electrolyzed from scrap iron chips

FeCl <sub>2</sub> ·4H <sub>2</sub> O / kmol·m <sup>-3</sup>	NaCl / kmol·m <sup>-3</sup>	J / A·m <sup>-2</sup>	T /	Cathode	Anode	pH
1.2	2	200	95	Ti	Pt or pure Fe	4

## 1.2 电解铁的含量分析

Ni,Cu,Pb,Zn,Co 等金属杂质元素的含量分析分别使用 AFS-2201 原子荧光分光光度计(北京海光仪器公司),3510 火焰原子吸收光谱仪(惠普上分厂),PE-300 石墨炉原子吸收光谱仪(Park P.E 公司)测定.C,S,P,N,B 非金属杂质元素的含量由上海材料所测定.

## 1.3 RRR<sub>H</sub> 法检测

用 DW3 低温胶(上海合成树脂研究所)将退火后的电解铁片粘在绝缘板上,于 60℃ 固化 2 h,然后用 YAG 多用途激光加工机加工成“ I ”字形状,宽度约 50 μm,误差 ±20 μm. 在外加垂直磁场 800 0 e,电流密度 5 A·mm<sup>-2</sup> 的条件下用 6 位数字电压表分别在液氦(4.2 K)和空气中(298 K)测定样品两端的电压.

## 1.4 电解铁断面形貌的 SEM 观察

将电解铁样品(1 cm × 2 cm)洗净,烘干,再拉断,然后用 SEM(扫描电子显微镜)观察其断面形貌.

## 2 结果与讨论

### 2.1 电解铁的杂质含量分析

用化学分析法总共分析了电解铁样品(电解条件见表 1)的 20 个金属与非金属杂质元素. 结果如表 2 所列. 分析中发现,样品 No. 1 的 Cu, Ni, Co, Ca 等几个元素含量较高. 而对样品 No. 2 和 No. 3, 因在电解制备过程中未使用隔膜将阴,阳极区间隔离,以防阳极液特别是 Fe<sup>3+</sup> 形成的胶状物直接浸入阴极区,从而提高了电解效率和电解铁纯度. 此外,还配合使用预电解<sup>[6,7]</sup>以及在阴极区放置纯铁等手段,进一步降低了杂质元素的含量,使电解铁纯度大为提高. 即如表 3 所见,样品 No. 3 的纯度达到了 99.983 %.

### 2.2 RRR<sub>H</sub> 法检测电解铁纯度

对纯度足够高且杂质缺陷浓度足够低的金属,据马西森(Matthiesen)定则,其电阻率可看成是两独立项之和:  $\rho = \rho_1 + \rho_r$ , 此处  $\rho_1$  是由晶格格点热运动所引起的,称为声子电阻率或理想电阻率,与温度有关;  $\rho_r$  是由杂质和缺陷所引起的,称为剩余电阻率,与温度无关. 在高温区,  $\rho_r > \rho_1$ ; 当温度很低,如 T = 4.2 K 时,由于此时基本上没有晶格格点热运动,  $\rho_r > \rho_1$ . 对于磁体铁,当纯度较高时,在没有外加磁场下会受到地球磁场和退磁工艺等的影响,如有外加磁场存在,则又会受到外加磁场的影响,在 RRR<sub>H</sub>(RRR<sub>H</sub> = 298 K / 4.2 K) 测定中一般多采用外加垂直磁场(> 700 ~ 800 0 e)于 4.2 K 下测其最小电阻率,此时  $\rho_{4.2 K}$  几乎全部是由杂质所引起的,因此可用 RRR<sub>H</sub> 值来判定铁的纯度,比值越高,其纯度也越高.

表 2 电解铁样品的杂质元素含量 ( $10^{-6}$  kg/kg)Tab. 2 Impurities content of electrolyzed iron specimen ( $10^{-6}$  kg/kg)

Element	No. 1	No. 2	No. 3
As	0.45	1.35	0.43
Sb	0.10	0.11	0.10
Sn	0.23	0.27	0.20
Bi	0.05	0.10	0.26
Mn	*	*	0.06
Cu	58.06	16.10	16.20
Ca	23.55	0.99	1.52
Mg	8.21	1.71	10.21
Co	154.32	62.01	41.01
Ni	70.45	21.37	15.05
Cr	1.07	0.02	0.70
Cd	0.22	0.25	0.09
Pb	8.94	4.34	2.20
Al	0.99	0.03	0.01
Hg	0.79	0.20	*
C	45	40	40
S	10	10	10
P	< 10	< 10	< 10
N	< 15	< 15	< 15
B	< 5	< 5	< 5

Note: \* indicates the content of this element is too low to be measured

表 3 不同电解条件下电解铁样品的纯度比较

Tab. 3 Comparisons between the purity of electrolyzed iron specimen at different electrolysis conditions

No.	Current density / A · m <sup>-2</sup>	Anode	Semipermeable membrane	Pre-electrolysis	Purity/ %
1	95	200	Pt	No	99.959
2	95	200	Pt	Yes	99.981
3	95	200	Fe	Yes	99.983

低温实验中,所用的电流导线往往又细又长,并要通过温度梯度很大的区域。由于引线电阻较大且不很稳定,有时甚至比待测样品的电阻值还要大得多,为了消除引线电阻的影响,本文采用四引线法:先将光刻好的铁片两端各引出两根导线,用铟固定,这样就引出四根导线,把供电流的引线和测量电压的引线分开,再连接到测量线路中,然后将样品连同导线一起放入玻

璃双层液氮杜瓦瓶中。杜瓦瓶先抽真空,然后在隔层内放入液氮,经预冷后,再放入液氦,再对样品预冷,当液氦表面沸腾平静下来时即可进行测量。

在外加垂直磁场 800 0 e 和  $5 \text{ A} \cdot \text{m}^{-2}$  的电流密度下,分别测得各样品在 298 K 和 4.2 K 时的电压  $V_x$  值,进而算出此条件下各样品  $RRR_H$  值 ( $= V_x(298 \text{ K}) / V_x(4.2 \text{ K})$ ),即如表 4 所列。样品 No. 1, No. 2 和 No. 3 的  $RRR_H$  值分别为 71, 115, 121。对照表 3 即可看出, $RRR_H$  值随着电解铁纯度不同而不同,纯度越高, $RRR_H$  值也大,这和化学分析法结果基本吻合。

表 4 在外加垂直磁场 800 0 e 和电流密度  $5 \text{ A} \cdot \text{m}^{-2}$  下电解铁样品的  $RRR_H$  值

Tab. 4 The  $RRR_H$  value of electrolyzed iron specimen at an applied longitudinal-magnetic field of 800 0 e and current density of  $5 \text{ A} \cdot \text{m}^{-2}$

No.	$V_x / \text{V} (298 \text{ K})$	$V_x / \text{V} (4.2 \text{ K})$	$RRR_H$
1	4.644	0.065	71
2	3.326	0.029	115
3	4.122	0.034	121

### 2.3 电解铁的 SEM 形貌

图 1 为样品 No. 2 的 SEM 断面照片。显然,该样品是采用金属 Ti 基片在 95% 下电解制备得到的纯 Fe 薄片。由图可见,样品的内部组织非常致密,且有较好的强度,符合需要。

### 3 结 论

确立了以废铁屑为原料电解制备纯铁的电解条件。采用原子吸收光谱法等对样品的纯度进行分析,发现电解过程使用隔膜将阴、阳极区隔离以及预电解和用纯铁片作阳极等手段可明显降低杂质的含量,纯度达 99.98% 以上。应用  $RRR_H$  法在外加垂直磁场 800 0 e, 电流密度  $5 \text{ A} \cdot \text{m}^{-2}$  下测定了电解铁的  $RRR_H$  值。纯度越高, $RRR_H$  值越大。以  $RRR_H$  法作为高纯度金属的纯度检测的方法,无论从理论上还是从实际应用中均是可行的。

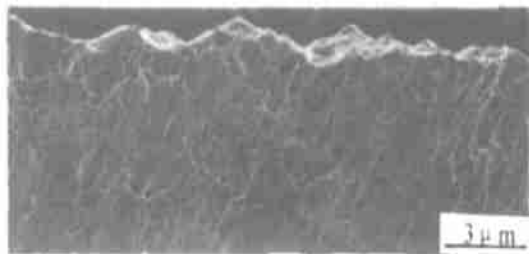


图 1 Ti 基片上电解制备的纯铁样品 No. 2 的 SEM 断面图

Fig. 1 SEM cross section of the pure iron (No. 2 sample) electrolyzed on Ti substrate

## Study of Electrolyzed Pure Iron and RRR<sub>H</sub> Method

CAO Wei-min<sup>1</sup>, YIN Ren-he<sup>\*1</sup>, YAN Hui-gen<sup>1</sup>, ZHANG Yi-bing<sup>2</sup>, DAI Ying-chun<sup>3</sup>

(1. Dept. Chem.. Shanghai University, Shanghai 200436, China,

2. Dept. Phys. Shanghai University, Shanghai 200436, China,

3. China National United Engineering Laboratory ECUST. Shanghai 200237, China )

**Abstract:** The high purity electrolytic iron was made from scrap iron chips. The purity of electrolyzed pure iron was above 99.98 % by chemical analysis. The resistivity was measured at 298 K and at 4.2 K under an applied longitudinal-magnetic field of 800 0 e. The ratio of resistivity at 298 K to that at 4.2 K, The value of residual resistivity ratio (RRR<sub>H</sub>) roughly depended on the purity of iron. Pure iron electrolyzed on Ti substrate had very compact texture as evident by SEM.

**Key words:** Pure Iron, Electrolytic preparation, RRR<sub>H</sub> method, SEM

### References :

- [1] Kunio Takada. Analysis of high purity iron-past and present [J]. Bulletin of the Japan Institute of Metals , 1990 , 29 :267 ~ 268.
- [2] Hiroshi Kimura. Importance of the purification for the fundamental research of metallic materials[J ]. Bulletin of the Japan Institute of Metals , 1994 , 33 :3 ~ 4.
- [3] Seiichi Takaki. The characteristics of ultra high purity iron[J ]. Bulletin of the Japan Institute of Metals , 1994 , 33 :6 ~ 10.
- [4] Kenji Abiko , Hiroshi Kimura , Yasuo Nakane. High purity electrolytic iron capable to cold working without melting or annealing[J ]. Transactions ISIJ , 1984 , 24 :19.
- [5] Cao Weimin , Yin Renhe , Yan huigen , et al. Pure iron electrolyzed from scrap iron chips[J ]. Electrochemistry , 2003 , 9(1) :93 ~ 97.
- [6] Yin Renhe , Lu Kang , Dai Yinchun , et al. Influence of impurities Cu , Zn , Sn on electrolytic production[J ]. Engineering Chemistry & Metallurgy , 2000 , 21 :183 ~ 186.
- [7] Yin Renhe , Lu Kang , Cao Weimin , et al. Influence of impurities Co , Ni , Cd on electrolytic production of high purity iron[J ]. Journal of East China University of Science and Technology , 2000 , 26 :183 ~ 187.